

# $s^1$ -oriented handlebody-link diagram と multiple conjugation quandle

飯島 悠介 (筑波大学 M1)

● coloring に付随する代数系

ori. knot	ori. R1–3	quandle
unori. knot	unori. R1–3	symmetric quandle
$S^1$ -ori. handlebody-link	Y-ori. R1–6	???
unori. handlebody-link	unori. R1–6	MCQ

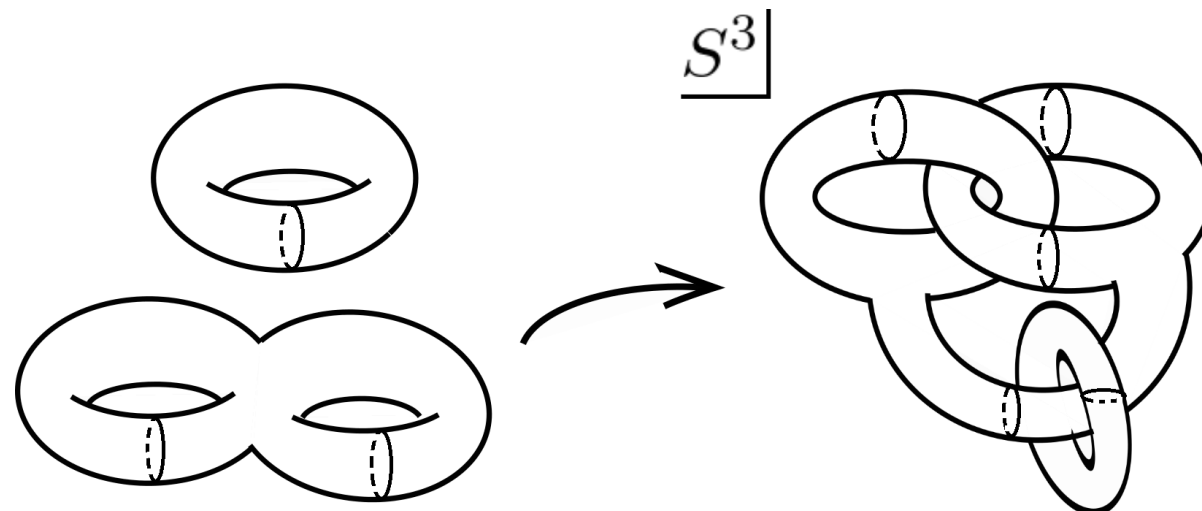
- coloring に付随する代数系

ori. knot	ori. R1–3	quandle
unori. knot	unori. R1–3	symmetric quandle
$S^1$ -ori. handlebody-link	Y-ori. R1–6	MCQ
unori. handlebody-link	unori. R1–6	MCQ

## Def

handlebody-link

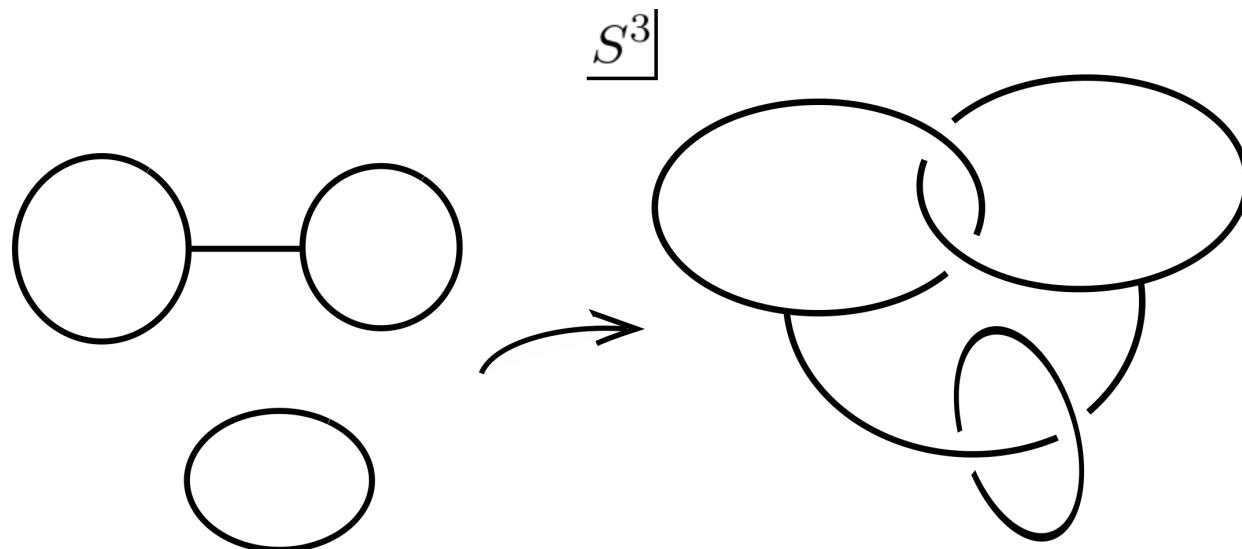
$\stackrel{\text{def}}{\Leftrightarrow}$   $S^3$  に埋め込まれたいくつかの handlebody



## Def

spatial trivalent graph

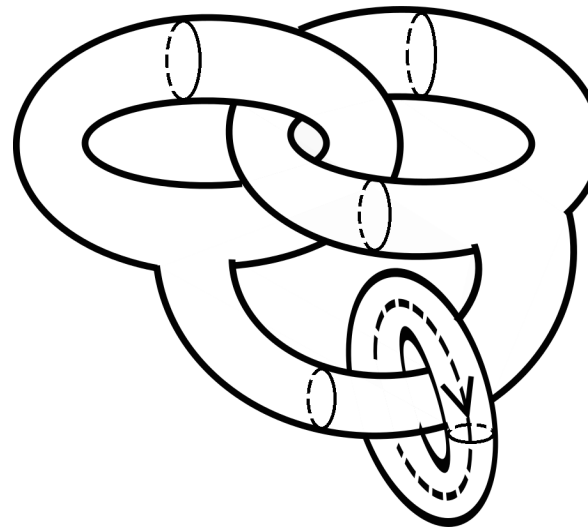
$\stackrel{\text{def}}{\Leftrightarrow}$   $S^3$  に埋め込まれた finite trivalent graph



## Def

- $S^1$ -oriented handlebody-link

$\stackrel{\text{def}}{\Leftrightarrow}$  handlebody-linkの種数1の成分のみに向きを入れたもの



- $H, H' : S^1$ -oriented handlebody-link

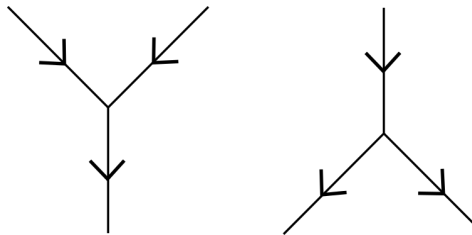
$H \cong H'$   $\stackrel{\text{def}}{\Leftrightarrow} \exists f : S^3 \rightarrow S^3$  : ori-pres. homeo s.t.  $f(H) = H'$   
 $(S^1\text{-ori込み})$

## Def

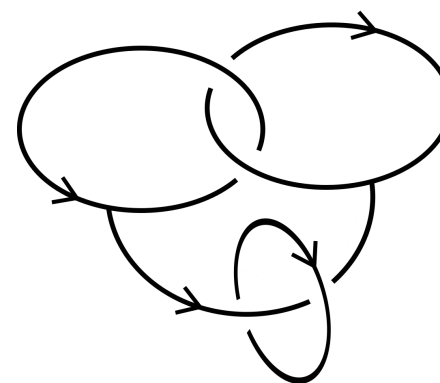
Y-oriented spatial trivalent graph

$\stackrel{\text{def}}{\Leftrightarrow}$  spatial trivalent graphのedgeに, 向きを入れたもの.

ただし, 各vertexで下図を満たす.



## Ex



Y-oriented spatial trivalent graphの例

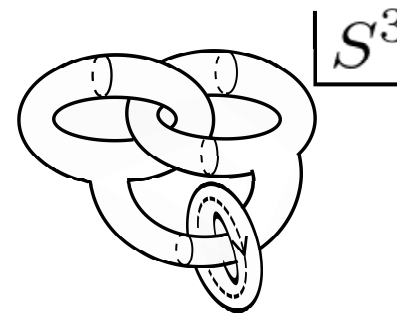
## Def

$H$ :  $S^1$ -oriented handlebody-link

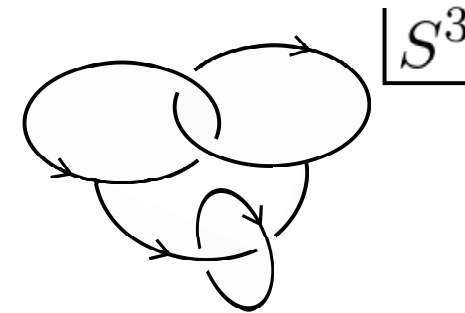
$K$ : Y-oriented spatial trivalent graph

$K$ は $H$ を表す

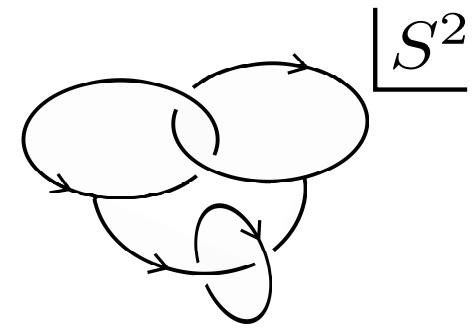
$\stackrel{\text{def}}{\Leftrightarrow} K$ の正則近傍が $H$ であり, 種数1の成分の向きが一致する



$S^1$ -ori.handlebody-link



spa.tri. graph

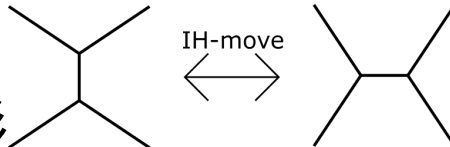


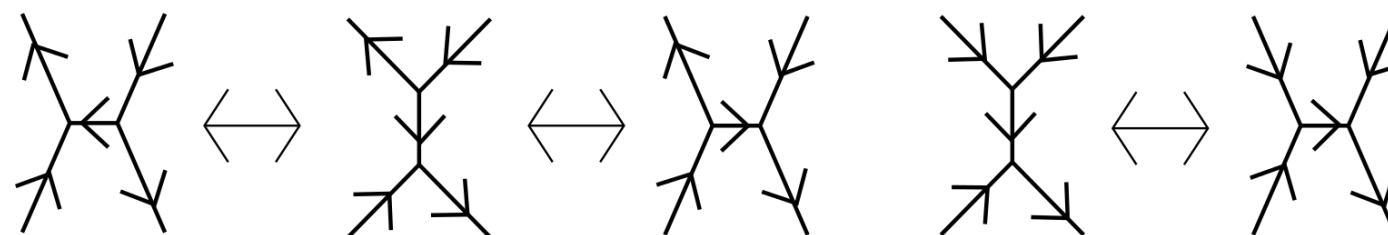
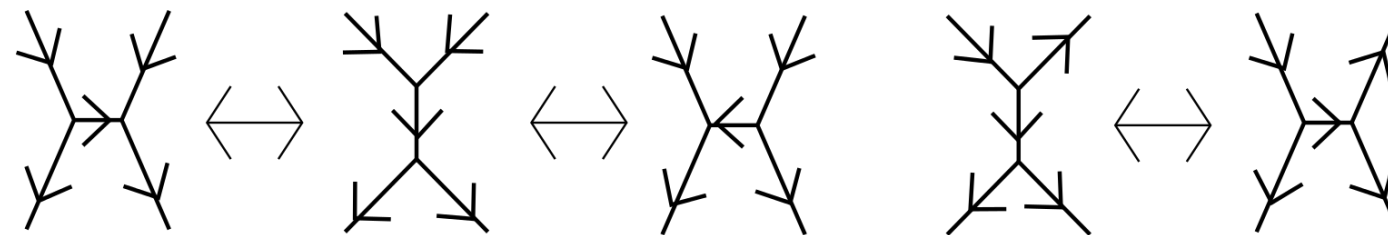
diagram

$K$ のdiagramを $H$ のdiagramとする.

## Def

2つのY-oriented spatial trivalent graphの間の  
Y-oriented IH-move

$\Leftrightarrow$  局所的な変形  に Y-orientation を入れたもの



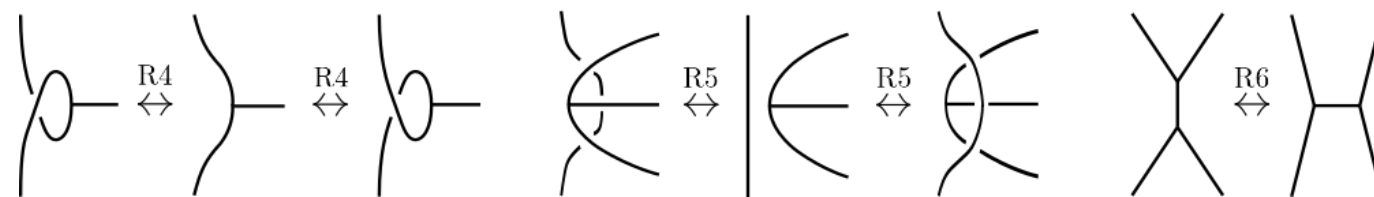
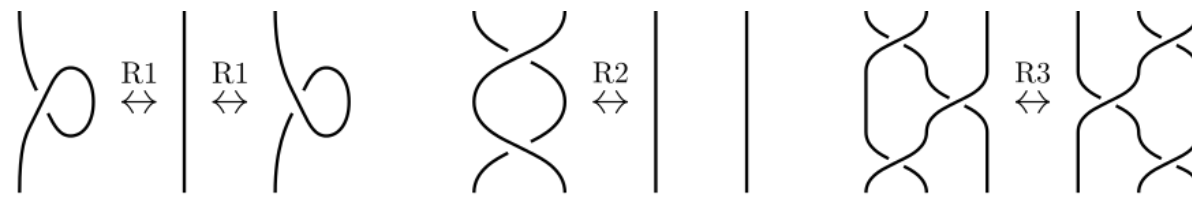
Y-oriented IH-move

## Def

2つの  $S^1$ -oriented handlebody-link diagram の間の

Y-oriented Reidemeister move

$\overset{\text{def}}{\Leftrightarrow}$  以下の変形に Y-orientation を入れたもの



$S^1$ -ori. handlebody-link に対する Reidemeister move

## Thm [Ishii]

$H, H'$  :  $S^1$ -oriented handlebody-link

$K, K'$  :  $H, H'$ を表す Y-oriented spatial trivalent graph

$D, D'$  :  $H, H'$ の diagram

以下は同値

- $H \cong H'$
- $K, K'$  は Y-oriented IH-move で移りあう.
- $D, D'$  は Y-oriented Reidemeister move で移りあう.

## Def

$Q$ : quandle

$P \subset Q \times Q$ ,  $\mu : P \rightarrow Q$ ;  $(a, b) \mapsto ab$

$H$ :  $S^1$ -oriented handlebody-link

$D$ :  $H$ のdiagram

- $C : \mathcal{A}(D) \rightarrow Q$ :  $(Q, P)$ -coloring

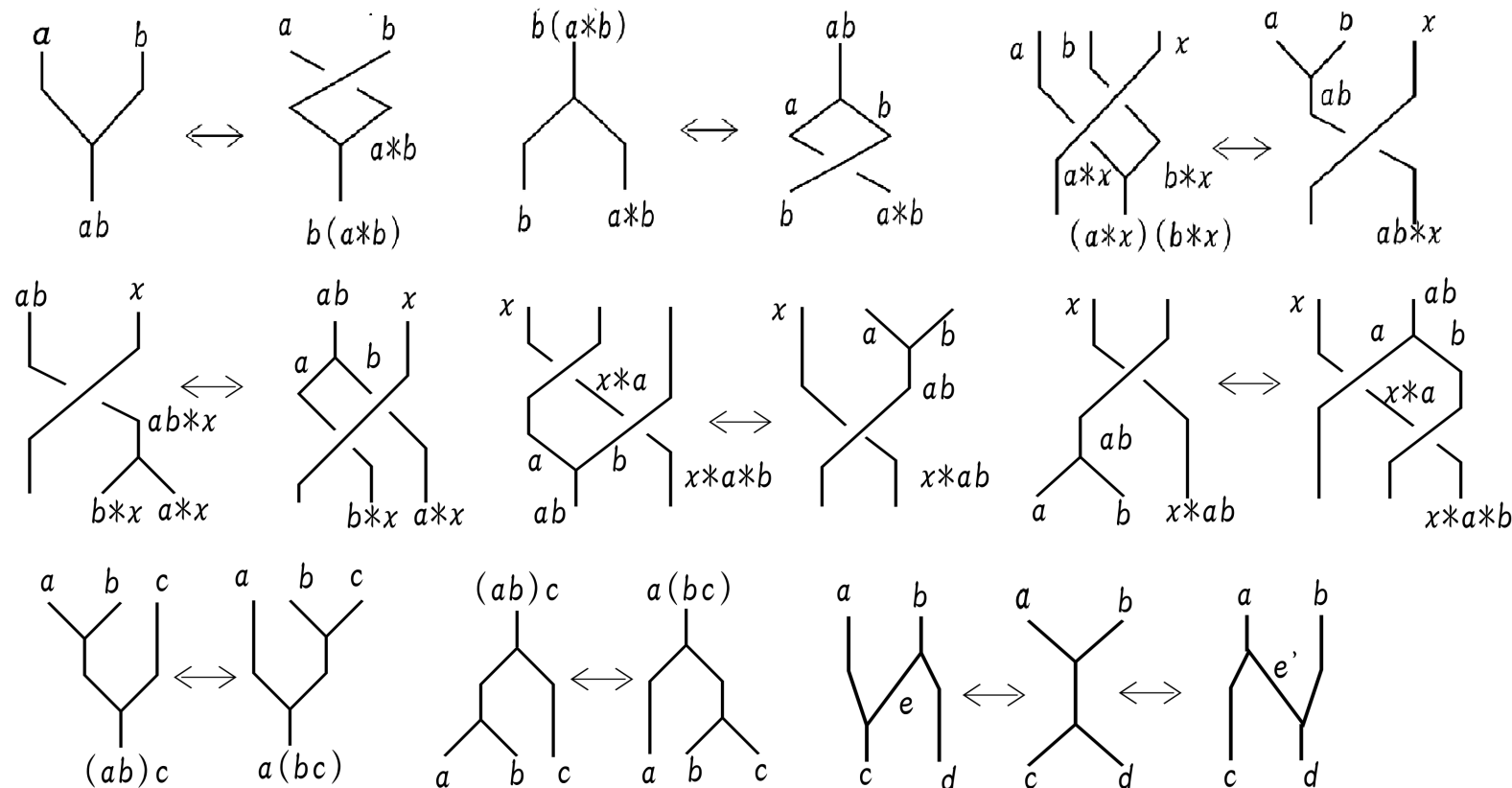
$$\overset{\text{def}}{\iff} \left\{ \begin{array}{c} \begin{array}{c} \xrightarrow{b} \\ \downarrow \\ \xrightarrow{a} \end{array} \quad \begin{array}{c} a \nearrow \\ \searrow b \\ \downarrow ab \end{array} \quad \begin{array}{c} b \nwarrow \\ \nearrow a \\ ab \end{array} \end{array} \right.$$

$\mathcal{A}(D)$ は  $D$ のarc全体を表す.

- $\text{Col}_{(Q, P)}(D) := \{D \text{の } (Q, P)\text{-coloring}\}$

## Lem

以下の Y-oriented R-move と oriented R1-R3 move で 全ての Y-oriented R-move を表せる。ただし、Y-ori. は上から下に入る。



Y-oriented R-move

**Rem** Reidemeister moveを代数化した条件. ( $x \in Q$ )

(P1).  $(a, b) \in P \Leftrightarrow (b, a * b) \in P$

$$(a, b) \in P \Rightarrow ab = b(a * b).$$

(P2).  $(a, b) \in P \Leftrightarrow (a * x, b * x) \in P$

$$(a, b) \in P \Rightarrow ab * x = (a * x)(b * x).$$

(P3).  $(a, b) \in P \Rightarrow x * ab = (x * a) * b.$

(P4).  $(a, b), (ab, c) \in P \Leftrightarrow (a, bc), (b, c) \in P$

$$(a, b), (ab, c) \in P \Rightarrow (ab)c = a(bc).$$

(P5).  $(a, b), (c, d) \in P, ab = cd$

$$\Rightarrow \exists!e \in Q \text{ s.t. } (a, e), (e, d) \in P, ae = c, b = ed$$

(P6).  $(a, e), (e, d) \in P$

$$\Rightarrow (ae, d), (a, ed) \in P, (ae)d = a(ed)$$

## Main Thm

$(Q, *)$ : quandle

$P \subset Q \times Q$  s.t.  $Q = \bigcup_{(a,b) \in P} \{a, b\}$

$\mu : P \rightarrow Q$

が、(P1)–(P6)を満たすとき、

$Q$ : multiple conjugation quandle

## Def

$G_\lambda$ : group ( $\lambda \in \Lambda$ )

$Q := \bigsqcup_{\lambda \in \Lambda} G_\lambda$

$(Q, *)$ : multiple conjugation quandle

$\stackrel{\text{Def}}{\Leftrightarrow} (Q, *)$ : quandleであり、 $a, b \in G_\lambda$ ,  $x \in Q$ に対し、

$$a * b = b^{-1}ab, \quad x * ab = (x * a) * b, \quad ab * x = (a * x)(b * x)$$

## Lem

- $\forall a \in Q, \exists! e_a \in Q$  s.t.  $ae_a = a = e_a a$
- $(a, b) \in P \Leftrightarrow e_a = e_b$

$$a \sim b \stackrel{\text{def}}{\Leftrightarrow} (a, b) \in P$$

による同値類分割を

$$Q = \bigsqcup_{\lambda \in \Lambda} G_\lambda$$

で表す.

## Proof of Main Thm

$(G_\lambda, \mu)$ : 群

- $a, b \in G_\lambda$  とすると,  $(a, b) \in P$

$e = e_a = e_b$  に対し, (P4) より,  $ab = (ea)b = e(ab)$

同様に  $ab = a(be) = (ab)e$

よって,  $e_{ab} = e$ ,  $a \sim ab$  i.e.  $ab \in G_\lambda$

- associativity は, (P4) からわかる.

---

(P4).  $(a, b), (ab, c) \in P \Leftrightarrow (a, bc), (b, c) \in P$

$(a, b), (ab, c) \in P \Rightarrow (ab)c = a(bc).$

- $a \in G_\lambda$ : fix  $e_\lambda := e_a$

$\forall b \in G_\lambda, a \sim b$ より,  $e_\lambda = e_a = e_b$

Lemより,  $be_\lambda = b = e_\lambda b$

したがって,  $e_\lambda : G_\lambda$ のidentity

- $\forall a \in G_\lambda, ae_\lambda = a = e_\lambda a$

(P5)より,  $\exists! a^{-1} \in Q, aa^{-1} = e_\lambda = a^{-1}a$

したがって,  $a^{-1}$ :  $a$ のinverse

(P5)  $(a, b), (c, d) \in P, ab = cd$

$\Rightarrow \exists! e \in Q$  s.t.  $(a, e), (e, d) \in P, ae = c, b = ed$

$$Q = \bigsqcup_{\lambda \in \Lambda} G_\lambda : \text{multiple conjugation quandle}$$

$\therefore \forall a, b \in G_\lambda, x \in Q$  に対して,  $(a, b) \in P$  なので,

- (P1) より,  $b(a * b) = ab$  より,  $a * b = b^{-1}ab$
  - (P3) より,  $x * (ab) = (x * a) * b$
  - (P2) より,  $(a * x, b * x) \in P$ ,  $(ab) * x = (a * x)(b * x)$
- 

(P1).  $(a, b) \in P \Rightarrow ab = b(a * b).$

(P2).  $(a, b) \in P \Rightarrow ab * x = (a * x)(b * x).$

(P3).  $(a, b) \in P \Rightarrow x * ab = (x * a) * b.$

- まとめ

$S^1$ -oriented handlebody-link diagramへの  
coloring を定義



coloring に付随する条件を抽出  
(Y-ori. R-moveの代数化)



条件を満たす代数系は MCQ

ご清聴ありがとうございました !!